

6-5 2009年8月11日に駿河湾で発生した地震 (M6.5) について

On the M6.5 earthquake at Suruga bay, Shizuoka prefecture, Japan on August 11, 2009.

名古屋大学大学院環境学研究科

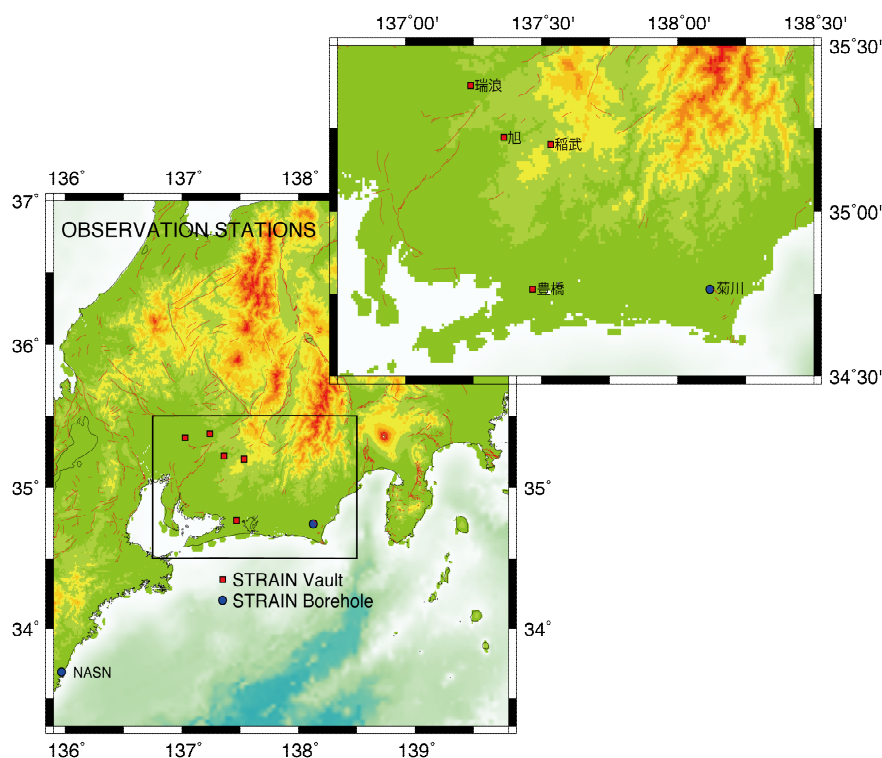
Graduate School of Environmental Studies, Nagoya University

2009年8月11日に駿河湾においてM6.5の地震が発生した。名古屋大学では東海地方において地殻変動連続観測を実施しており、2009年8月11日の駿河湾で発生した地震(M6.5)発生前のひずみ計記録について報告する。

第1図に観測点分布を示した。第2図には、第1図で示した観測点における地震の発生前の約2ヶ月間におけるひずみ計の連続観測記録を示す。特に、旭観測点において大きな地殻変動が観測されているが、2008年の同じ時期にも同様な変動が観測されていることから、降雨等によると思われる擾乱と考えられる。そのほかの観測点においても、降雨等によると思われる擾乱の他にはとくに大きな変化は見られない。また、それぞれの観測点の降水量は気象庁のアメダスの観測値を用いた。

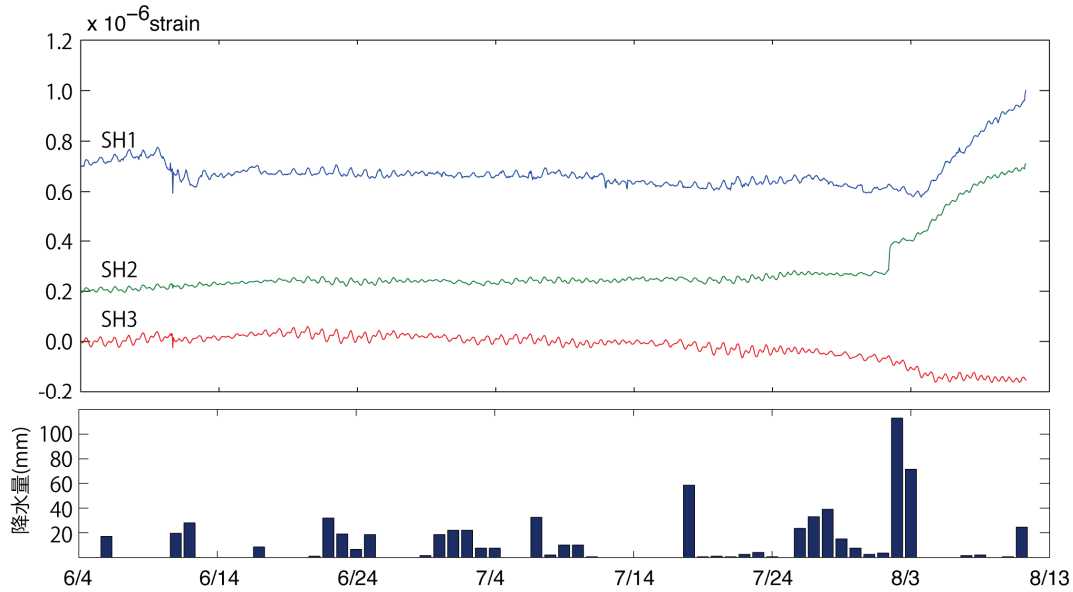
謝辞

気象庁のホームページで公開されている気象データを使用させて頂きました。記して感謝いたします。



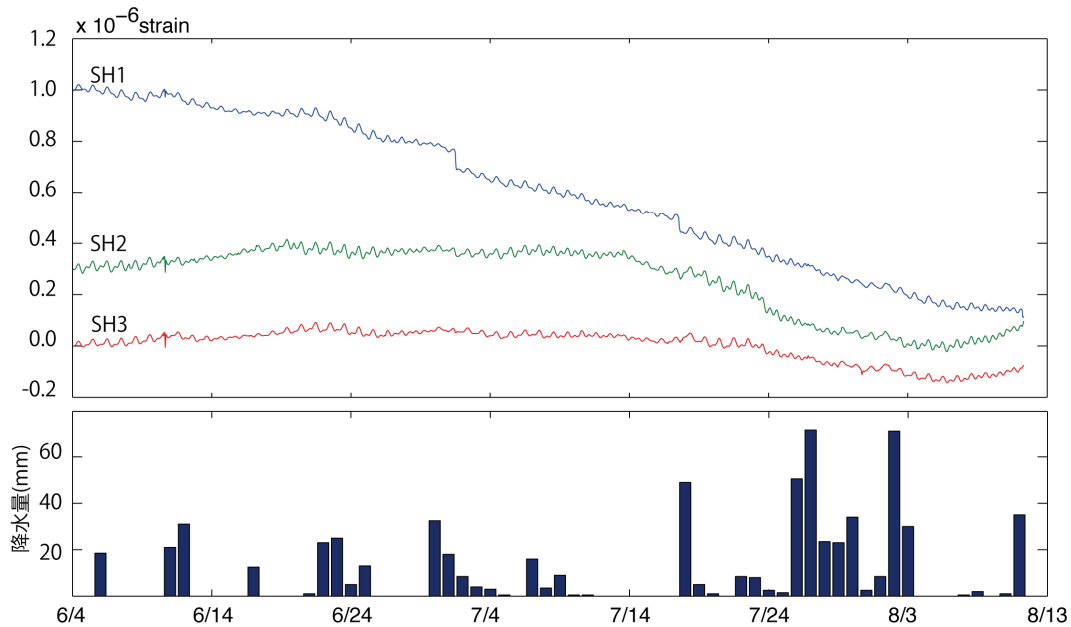
第1図:東海地方のひずみ計の観測点分布を示す.

Fig.1 Map of observation stations for strain.



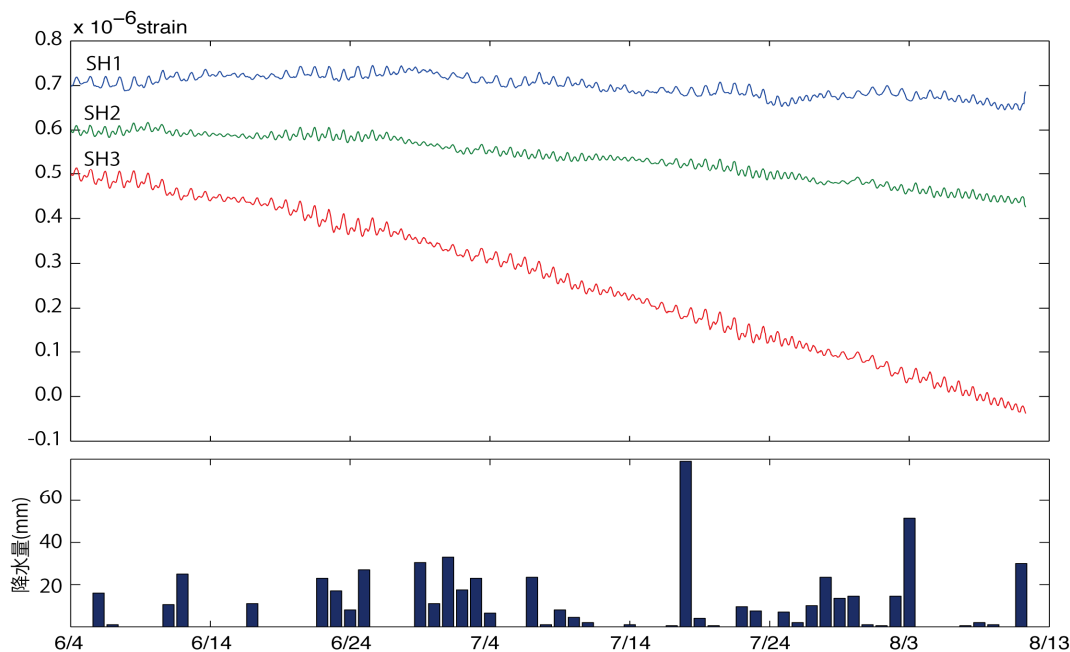
第 2 図 (a) 旭観測点における 3 成分ひずみ記録および降水量を示す。SH1, SH2 および SH3 は N85E, N130E および N40E を表す。

Fig2 (a) Time series of strain meter records and daily precipitation from June 4, to August 12 at Asahi observation station. SH1, SH2 and SH3 denote N85E, N130E and N40E, respectively.



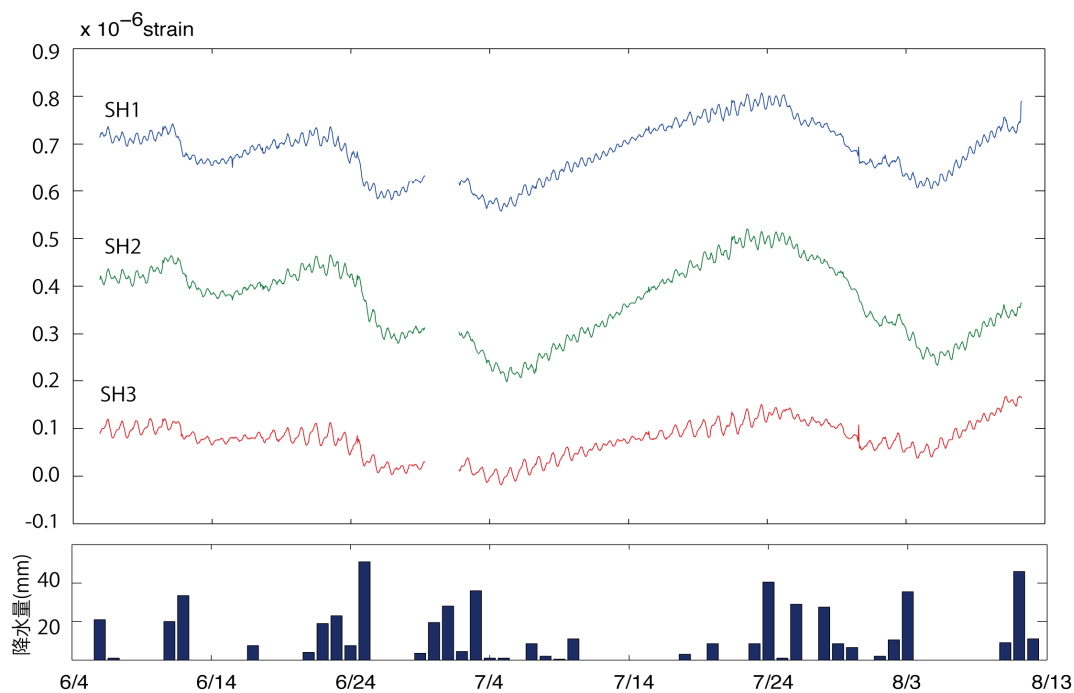
第 2 図 (b) 瑞浪観測点における 3 成分ひずみ記録および降水量を示す。SH1, SH2 および SH3 は N122E, N32E および N77E を表す。

Fig2 (b) Time series of strain meter records and daily precipitation at Mizunami observation station. SH1, SH2 and SH3 denote N122E, N32E and N77E, respectively.



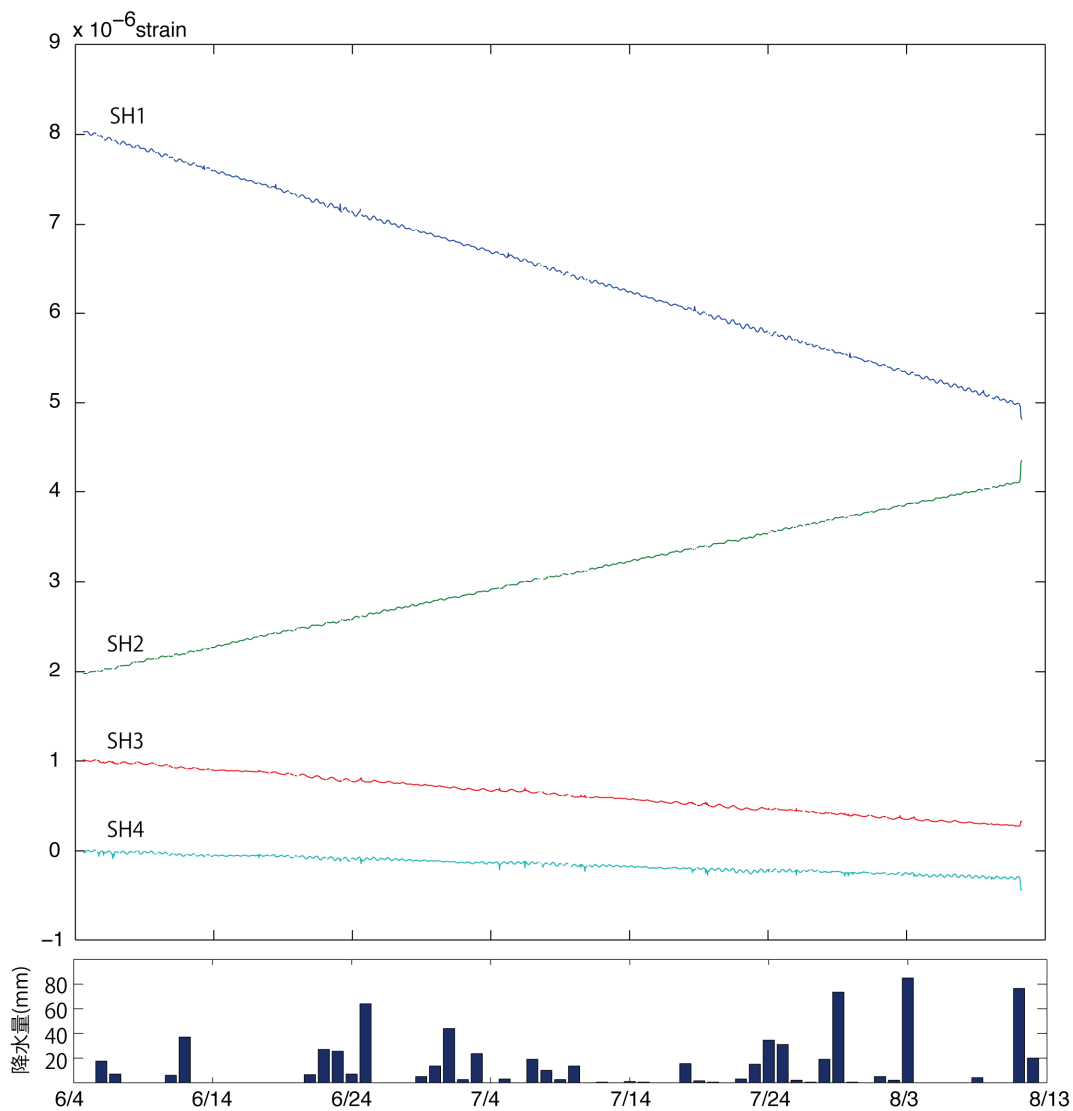
第 2 図 (c) 稲武観測点における 3 成分ひずみ記録および降水量を示す。SH1, SH2 および SH3 は N98E, N8E および N53E を表す。

Fig2 (c) Time series of strain meter records and daily precipitation at Inabu observation station. SH1, SH2 and SH3 denote N98E, N8E and N53E, respectively.



第 2 図 (d) 豊橋観測点における 3 成分ひずみ記録および降水量を示す。SH1, SH2 および SH3 は N19E, N0E および N90E を表す。

Fig2 (d) Time series of strain meter records and daily precipitation at Toyohashi observation station. SH1, SH2 and SH3 denote N19E, N0E and N90E, respectively.



第 2 図 (e) 菊川観測点の 400m 縦坑における 4 成分ひずみ記録および降水量を示す。SH1, SH2, SH3 および SH4 は N332E, N62E, N107E および N197E を表す。方位は暫定値である。
 Fig2 (e) Time series of 4 strain meter records and daily precipitation at kikukawa observation station. SH1, SH2, SH3 and SH4 denote N332E, N62E, N107E and N197E, respectively.